

مذكرة محاضرات ميكانيكا المواد

الجزء الثاني

## Lecture Notes on Mechanics of Materials Part Two



تأليف

بروفيسور/ محمود يس عثمان

دكتور/ أسامة محمد المرضي سليمان خيال

قسم الهندسة الميكانيكية

كلية الهندسة والتقنية

جامعة وادي النيل

عطبرة - السودان

إبريل 2019م

## شكر و عرفان

الشكر والعرفان لله والتبريكات والصلوات على رسوله وخادمه محمد وعلى آله وصحابه  
وجميع من تبعه وتَقَفَى أثره إلى يوم القيامة.

يود الكاتب ان يتقدم بالشكر أجذله لكل من ساهم بجهده وفكره ووقته في إخراج هذه المذكرة  
بالصورة المطلوبة ، ويخص بذلك الزملاء/ الأساتذة بقسم الهندسة الميكانيكية بجامعة وادي النيل  
— عطبرة ، وأيضاً الإخوة/ الأساتذة بقسم الهندسة الميكانيكية بجامعة البحر الأحمر —  
بورتسودان.

الشكر والتقدير والعرفان للبروفيسور/ محمود يس عثمان الذي ساهم بقدر كبير في مراجعة  
وإعادة مراجعة محتويات المذكرة.

اهدي هذه المذكرة بصفة أساسية لطلاب دبلوم وبكالوريوس الهندسة في جميع التخصصات  
خاصة طلاب قسم الهندسة الميكانيكية ، حيث تستعرض هذه المذكرة الكثير من التطبيقات في  
مجال الهندسة الميكانيكية وبالأخص في مجال ميكانيكا المواد.

وأعبر عن شكري وامتناني إلى المهندس/ أسامة محمود محمد علي بمركز دانية لخدمات  
الحاسوب والطباعة بمدينة عطبرة، الذي أنفق العديد من الساعات في طباعة ، مراجعة وتعديل  
وإعادة طباعة هذه المذكرة أكثر من مرة. والشكر موصول أيضاً للمهندس/ عوض علي بكري  
الذي شارك في تنسيق هذا العمل.

أخيراً ، أرجو من الله سبحانه وتعالى أن يتقبل هذا العمل المتواضع والذي آمل أن يكون ذا فائدة  
للقارئ.

## مقدمة

إنَّ مؤلّف هذه المذكرة وإيماناً منه بالدور العظيم والمُقدَّر للأستاذ الجامعي في إثراء حركة التأليف والتعريب والترجمة للمراجع والكتب الهندسية يأمل أن تفي هذه المذكرة بمتطلبات برامج البكالوريوس والدبلوم لطلاب الهندسة الميكانيكية ، هندسة الإنتاج او التصنيع ، الهندسة الكهربائية والهندسة المدنية حيث يُغطّى مناهج نظرية ومختبرية في ميكانيكا المواد. تتفق هذه المذكرة لغوياً مع القاموس الهندسي الموحد السوداني ، وتُعد المذكرة مرجعاً في مجاله حيث يمكن أن يستفيد منه الطالب والمهندس والباحث. هذه المذكرة مقتبسة من مُذكرات مؤلفه في تدريسه لهذا المُقرر لفترة لا تقل عن أربعون عاماً.

تهدف هذه المذكرة لتأكيد أهمية دراسة ميكانيكا المصمّمات أو المواد. فقد اشتملت هذه المذكرة على صياغة بعض النماذج الرياضية المستخدمة في ميكانيكا المواد واشتقاقها حتى الوصول إلى الصيغ النهائية المستخدمة في حل المسائل بالإضافة لإيراده بعض الأمثلة لنظم مستخدمة في التطبيقات العملية والمُختبرية.

تشتمل هذه المذكرة على أربعة فصول. يتناول الفصل الأول دراسة للعارضات الغير محدّدة إستاتيكيّاً التي يزيد فيها عدد ردود الأفعال المجهولة عن عدد معادلات الإتزان ويتضمن الفصل العديد من الأمثلة المحلولة والمسائل الإضافية المتنوعة.

أما الفصل الثاني فيدرس الإنحناء في المقاطع غير المتماثلة مشفوعاً بعدد الأمثلة النموذجية المحلولة وبعض التدريبات.

يتناول الفصل الثالث الإنبعاج في الأعمدة الذي يحدث نتيجة لتعرض الأعمدة الطويلة لأحمال إنضغاط محورية تؤدي إلى تقوسها وإنهيارها نتيجة لعدم الإتزان. يستعرض هذا الفصل نظرية أويلر لتحليل عدد من الأعمدة بحالات طرفية مختلفة: عمود مسماري من الطرفين، عمود مبني من الطرفين، عمود مبني من طرف وحر من الطرف الآخر، عمود مبني من طرف ومسماري

من الطرف الآخر، وعمود مسلط عليه حمل لا تمركزي. أيضاً يوضح هذا الفصل مناحي القصور في نظرية أويلر بالإضافة للعديد من الأمثلة المحلولة والمسائل الإضافية. أما الفصل الرابع والأخير فيتناول بالدراسة الإسطوانات الرفيعة والسميكة مشفوعاً بالعديد من الأمثلة والتدريبات.

إنَّ الكاتب يأمل أن تساهم هذه المذكرة في إثراء المكتبة الجامعية داخل السودان وخارجه في هذا المجال من المعرفة ويأمل من القارئ ضرورة إرسال تغذية راجعة إن كانت هنالك ثمة أخطاء حتى يستطيع الكاتب تصويبها في الطبعة التالية للمذكرة.

والله الموفق

المؤلف

إبريل 2019م

## المحتويات

الصفحة	الموضوع
I	شكر وعرfan
II	مقدمة
IV	المحتويات
	<b>الفصل الأول : العارضات غير المحددة إستاتيكيأ</b>
1	1.1 مدخل
1	1.2 أمثلة محلولة
6	1.3 تمرين
	<b>الفصل الثاني : إنحناء المقاطع الغير متماثلة</b>
8	2.1 عزم المساحة
11	2.2 الإنحناء الغير متماثل
17	2.3 تمرين
	<b>الفصل الثالث : إنبعاج الأعمدة</b>
20	3.1 مدخل
25	3.2 نواحي القصور في نظرية أويلر
27	3.3 أمثلة محلولة
31	3.4 تمرين
	<b>الفصل الرابع : الإسطوانات</b>
35	4.1 الإسطوانات الرفيعة
36	4.2 الإسطوانات السمكية
45	4.3 تمرين
	<b>الكتب والمراجع</b>
48	الكتب والمراجع العربية
48	الكتب والمراجع الإنجليزية



## الفصل الأول

### العارضات غير المحددة إستاتيكيًا

#### ( Statically Indeterminate Beams )

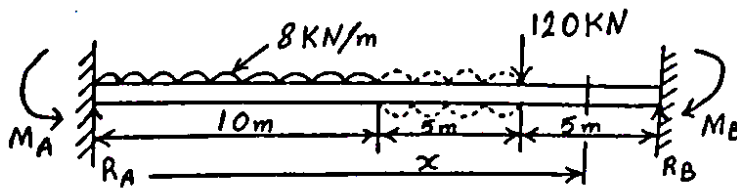
##### 1.1 مدخل:

العارضة الغير محددة إستاتيكيًا هي العارضة التي يزيد عدد ردود الأفعال المجهولة عن عدد معدلات الاتزان. العارضات الغير محددة إستاتيكيًا ثلاثة أنواع وهي العارضة التوتدية المدعومة، العارضة المبنية من الطرفين، العارضة المستمرة المسنودة على أكثر من مسندين. سنركز الحديث على النوعين الأولين فقط.

##### 1.2 أمثلة محلولة:

##### مثال(1):

عارضة لها مقطع منتظم مبنية من الطرفين بحرهما 20m مُسلط عليها حمل موزع بانتظام 8kN/m وحمل مركّز 120kN كما موضّح في الرسم(1.1) أدناه. أوجد ردود الأفعال (القوى وعزوم التثبيت) ومقدار موضع الانحراف الأقصى  $E = 200\text{kN/mm}^2$ ،  $I = 500.10^6\text{mm}^4$ .



الرسم(1.1)

الحل:

$$EI \frac{d^2v}{dx^2} = -M_A + R_A x - 4x^2 + 4[x-10]^2 + 120[x-15]$$

$$EI \frac{dv}{dx} = -M_A x + R_A \frac{x^2}{2} - \frac{4}{3}x^3 + \frac{4}{3}[x-10]^3 + 60[x-15]^2 + A$$

$$EIv = -M_A \frac{x^2}{2} + R_A \frac{x^3}{6} - \frac{1}{3}x^4 + \frac{1}{3}[x-10]^4 + 20[x-15]^3 + Ax + B$$

$$x = 0, v = 0 \quad \therefore B = 0$$

$$x = 0, \frac{dv}{dx} = 0 \quad \therefore A = 0$$

$$x = 20m, \quad v = \frac{dv}{dx} = 0$$

$$-20M_A + 200R_A - 10667 + 1333 - 2500 = 0$$

$$-M_A + 10R_A - 514.7 = 0 \quad (1)$$

$$-200M_A + 1333R_A - 53333 + 3333 - 2500 = 0$$

$$-M_A + 6.665R_A - 262.5 = 0 \quad (2)$$

حل المعادلتين (1) و (2) يُعطي،

$$R_A = 83.7kN, \quad M_A = 295.3kNm$$

الآن،

$$\therefore R_B = 116.3kN$$

عزم الإنحناء عند الطرف اليمين،

$$\curvearrowleft \sum M = 0$$

$$M_B - M_A + 20R_A - 8 \times 10 \times 15 - 120 \times 5 = 0$$

بعد التعويض نحصل على،

$$M_B = 421.3kNm$$

دعنا نفترض أن القيمة القصوى للانحراف في مقطع حيث  $10 < x < 15$  والميل = صفراً

$$EI \frac{dv}{dx} = -295.3x + R_A \frac{83.7}{2} - \frac{4}{3}x^3 + \frac{4}{3}(x-10)^3 = 0$$



بعد التبسيط تصبح المعادلة،

$$1.9x^2 + 104.7x - 1333 = 0$$

$$x = 10.7m$$

والحل المطلوب

نعوض في معادلة الانحراف،

$$EI\hat{v} = -295.3 \times \frac{10.7^2}{2} + \frac{83.7 \times 10.7^3}{6} - \frac{10.7^4}{3} + \frac{1}{3} \times 0.7^4 = -4184kNm$$

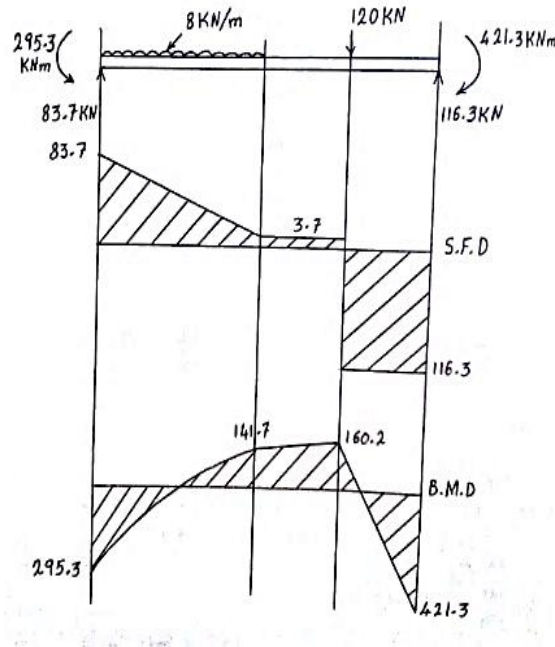
إذن الانحراف الأقصى،

$$\hat{v} = -\frac{4184.10^{12}}{200.10^3 \times 500.10^6} = -41.8mm$$

مثال(2):

أرسم مخططي قوة القص وعزم الإنحناء للعرضة في المثال (1).

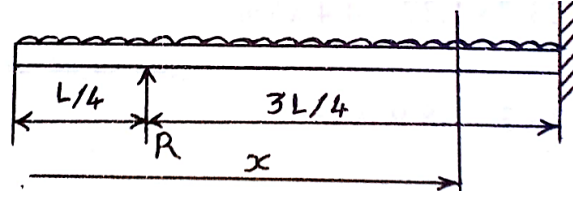
الحل:



الرسم (1.2)

مثال (3):

أوجد رد الفعل لدي الدعامة في العارضة الوتدية الموضحة في الرسم (1.3) أدناه.



الرسم (1.3)

الحل:

$$EI \frac{d^2v}{dx^2} = -\frac{wx^2}{2} + R \left[ x - \frac{L}{4} \right]$$

$$EI \frac{dv}{dx} = -\frac{wx^3}{6} + \frac{R}{2} \left[ x - \frac{L}{4} \right]^2 + A$$

$$x = L, \quad \frac{dv}{dx} = 0, \quad \therefore A = -\frac{9RL^2}{32}$$

$$EI \frac{dv}{dx} = -\frac{wx^3}{6} + \frac{R}{2} \left[ x - \frac{L}{4} \right]^2 + \frac{wL^3}{6}x - \frac{9RL^2}{32}$$

$$EIv = -\frac{wx^4}{24} + \frac{R}{6} \left[ x - \frac{L}{4} \right]^3 + \frac{wL^3}{6}x - \frac{9RL^2}{32}x + B$$

$$x = L, \quad v = 0, \quad B = \frac{wL^4}{8} - \frac{27RL^3}{32}$$

$$EIv = -\frac{wx^4}{24} + \frac{R}{6} \left[ x - \frac{L}{4} \right]^3 + \frac{wL^3}{6}x - \frac{9RL^2}{32}x + \frac{wL^4}{8} - \frac{27RL^3}{32}$$

$$x = \frac{L}{4}, \quad v = 0$$

$$\therefore R = \frac{341}{576} wL$$

مثال (4):

إذا كان معدّل الحمل في العارضة في المثال (3) 10kN/m وطول العارضة 4m. أرسم

مخططي قوة القص وعزم الإنحناء.

الحل:

$$w = 10 \text{ kN/m}, \quad L = 4 \text{ m}$$

$$\therefore R = \frac{341}{576} \times 10 \times 4 = 23.7 \text{ kN}$$

قوة القص = صفر عند  $1 < x < 4$ ,

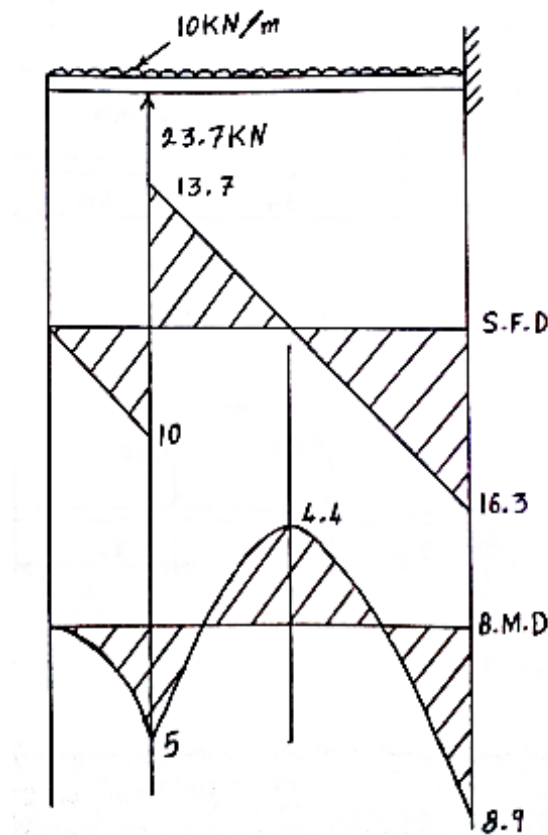
$$F = -10x + 23.7 = 0$$

$$\therefore x = 2.37 \text{ m}$$

$$\hat{M} = -5 \times 2.37^2 + 23.7 \times 2.37 = 4.4 \text{ kNm}$$

عزم الإنحناء عند الطرف المبني،

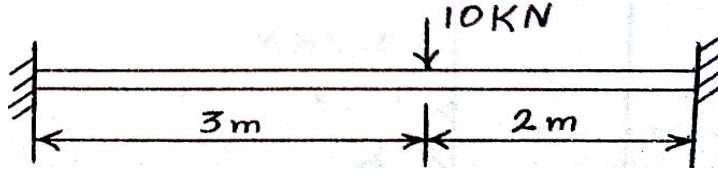
$$M = -5 \times 4^2 + 23.7 \times 3 = -8.9 \text{ kNm}$$



الرسم (1.4)

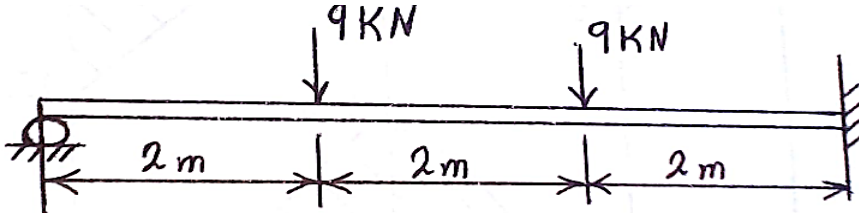
### 1.3 تمرين:

1. أحسب ردود الأفعال في العارضة الموضحة في الرسم.



Ans. (7.2kNm, 4.8kNm, 6.48kN, 3.52kN)

2. أحسب ردود الأفعال للعارضة الموضحة أدناه.



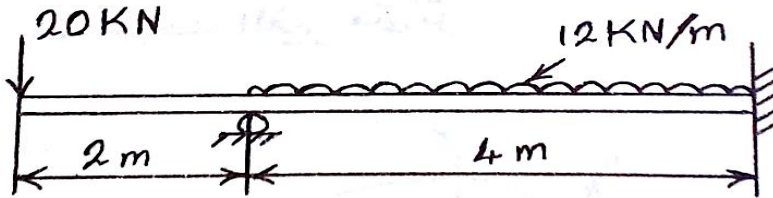
Ans. (18kN, 6kN, 12kN)

3. أوجد الانحراف عند مقطع على بعد 2m من الطرف الشمال للعارضة المذكورة في

المسألة 2. خذ  $EI = 7.10^{12} \text{Nmm}^2$ .

Ans. (4mm)

4. أحسب ردود الأفعال للعارضة الموضحة في الرسم أدناه.



Ans. (4kNm, 53kN, 15kN)

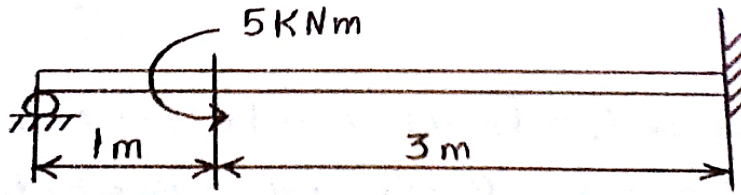
5. أوجد الانحراف عند الطرف الحر للعارضة المذكورة في المسألة 4. خذ

$$EI=25MNmm^2$$

Ans. (4.1mm)

6. أحسب الانحراف عند نقطة تسليط العزم المركّز في العارضة الموضّحة أدناه.

$$\text{خذ } EI=2MNmm^2$$



Ans. (4.1mm)

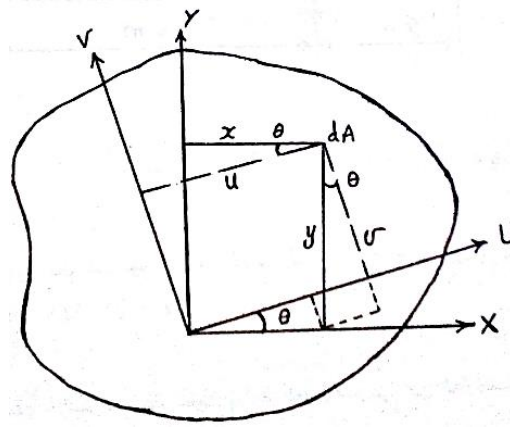
## الفصل الثاني

### إنحاء المقاطع الغير متماثلة

### (Bending of Unsymmetrical Sections)

2.1 عزم المساحة:

من الرسم (2.1) ادناه.



الرسم (2.1)

معلوم أنّ  $I_x = \int y^2 dA$ ,  $I_y = \int x^2 dA$ ,  $I_{xy} = \int xy dA$ . هب إننا نريد أن نعبر عن  $I_u$  و  $I_v$  و

$I_{uv}$  بدلالة  $I_x$  و  $I_y$  و  $I_{xy}$  و  $\theta$ .

$$I_u = \int v^2 dA$$

$$u = y \cos \theta - x \sin \theta$$

$$u^2 = y^2 \cos^2 \theta + x^2 \sin^2 \theta - 2xy \sin \theta \cos \theta$$

$$u^2 = \frac{1}{2} y^2 (1 + \cos 2\theta) + \frac{1}{2} x^2 (1 - \cos 2\theta) - xy \sin 2\theta$$

$$u^2 = \frac{1}{2} (y^2 + x^2) + \frac{1}{2} (y^2 - x^2) \cos 2\theta - xy \sin 2\theta$$

$$\therefore I_u = \frac{1}{2} (I_x + I_y) + \frac{1}{2} (I_x - I_y) \cos 2\theta - I_{xy} \sin 2\theta \quad (1)$$

$$I_v = \frac{1}{2}(I_x + I_y) + \frac{1}{2}(I_x - I_y) + I_{xy} \sin 2\theta \quad (2)$$

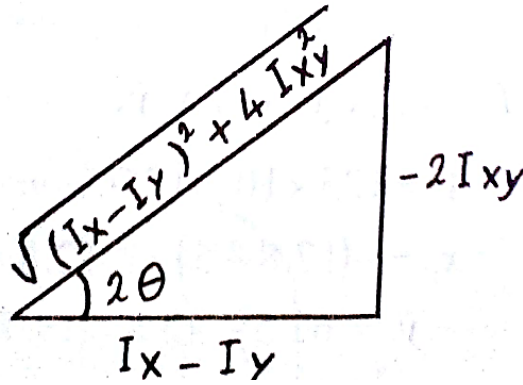
$$I_{uv} = \frac{1}{2}(I_x - I_y) + \sin 2\theta - I_{xy} \sin 2\theta$$

إذا كانت  $I_{uv} = 0$  فإن المحورين U و V يكونان محورين رئيسيين.

وفي هذه الحالة،

$$\tan 2\theta = \frac{-2I_{xy}}{I_x - I_y}$$

من المثلث في الرسم (2.2) أدناه نجد أن:



الرسم (2.2)

$$\sin 2\theta = \frac{-2I_{xy}}{\sqrt{(I_x - I_y)^2 + 4I_{xy}^2}}$$

$$\cos 2\theta = \frac{I_x - I_y}{\sqrt{(I_x - I_y)^2 + 4I_{xy}^2}}$$

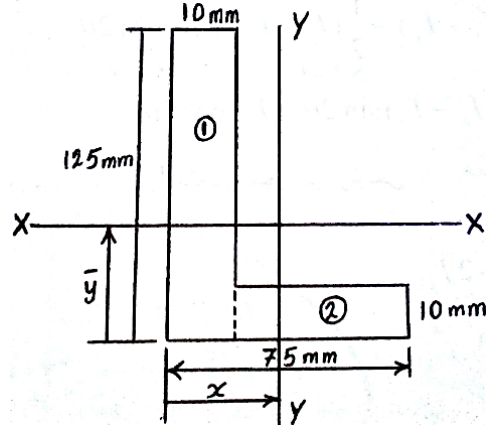
عوّض في المعادلتين (1) و (2) لتحصل على عزوم المساحة الرئيسية وهي تمثل أقصى وأدنى

عزم للمساحة.

$$I_{1,2} = \frac{1}{2}(I_x + I_y) \pm \frac{1}{2}\sqrt{(I_x - I_y)^2 + 4I_{xy}^2}$$

مثال(1):

المحورين  $x$  و  $y$  يمران بمركز المساحة لمقطع على شكل زاوية الموضَّح في الرسم (2.3) أدناه. أوجد  $I_x$  و  $I_y$  و  $I_{xy}$  و  $I_1$  و  $I_2$  حدِّد موضع المحورين الرئيسيين.



الرسم (2.3)

الحل:

أولاً أوجد  $\bar{x}$ ,  $\bar{y}$ , تحقق من أنها كما يلي:

$$\bar{x} = 17.8 \text{ mm}$$

$$\bar{y} = 42.8 \text{ mm}$$

ثانياً أوجد  $I_x$  و  $I_y$ ، تحقق من أنهما كما يلي:

$$I_x = 3.05 \cdot 10^6 \text{ mm}^2$$

$$I_y = 0.84 \cdot 10^6 \text{ mm}^2$$

أما مضروب عزم المساحة فإننا نحسبه من الصيغة التالية:

$$I_{xy} = A_1 \bar{x}_1 \bar{y}_1 + A_2 \bar{x}_2 \bar{y}_2$$

$$A_1 = 125 \times 10 = 1250 \text{ mm}^2$$

$$\bar{x}_1 = -(17.8 - 5) = -12.8 \text{ mm}$$

$$\bar{y}_1 = 62.5 - 42.8 = 19.7 \text{ mm}$$



$$A_1 \bar{x}_1 \bar{y}_1 = -315.2 \cdot 10^3 \text{ mm}^3$$

$$A_2 = 65 \times 10 = 650 \text{ mm}^2$$

$$\bar{x}_2 = 42.5 - 17.8 = 24.7 \text{ mm}$$

$$\bar{y}_2 = -(42.8 - 5) = -37.8 \text{ mm}$$

$$A_2 \bar{x}_2 \bar{y}_2 = -6.69 \cdot 10^3 \text{ mm}^3$$

$$\therefore I_{xy} = -1.27 \cdot 10^6 \text{ mm}^4$$

$$I_{1,2} = \frac{1}{2} (I_x + I_y) \pm \frac{1}{2} \sqrt{(I_x - I_y)^2 + 4I_{xy}^2}$$

$$I_{1,2} = \frac{10^6}{2} (3.05 + 0.84) \pm \frac{10^6}{2} \sqrt{(3.05 - 0.84)^2 + 4 \times 0.92^2}$$

$$I_{1,2} = 1.95 \cdot 10^6 \pm 1.44 \cdot 10^6$$

$$I_1 = 3.39 \cdot 10^6 \text{ mm}^4, \quad I_2 = 0.51 \cdot 10^6 \text{ mm}^4$$

$$\tan 2\theta = \frac{-2I_{xy}}{I_x - I_y} = \frac{2 \times 0.92 \cdot 10^3}{(3.05 - 0.84) \cdot 10^6} = 0.8326$$

$$\tan 2\theta = 39.8^\circ$$

$$\tan \theta = 19.9^\circ$$

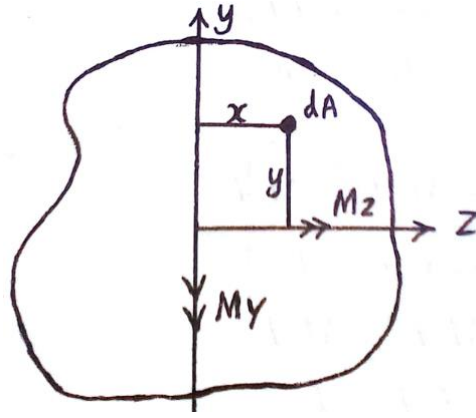
## 2.2 الإحناء الغير متماثل:

خذ عارضة ذات مقطع عشوائي غير متماثل مُسلط عليها عزم محض كما هو موضَّح في الرسم

(2.4) أدناه. المطلوب استنتاج صيغة لإجهاد الإحناء لأي نقطة على هذا المقطع.

أولاً وبصفة عامة مهما يكن العزم المُسلط فإنه يمكن تحليله إلي مركبتين أحدهما حول المحور z

والآخر حول محور y. للتسهيل سنمثل العزم بمتجه عبارة عن سهم مزدوج الرأس،



الرسم (2.4)

لشريحة طولية مساحتها  $dA$  فإن الانفعال العمودي يكون كما يلي:

$$\epsilon = \frac{y}{R_z} + \frac{z}{R_y}$$

حيث أن  $R_z$  و  $R_y$  هما نصف قطر التقويسة حول المحورين  $y$  و  $z$  على التوالي وعليه يُصبح

الإجهاد كما يلي:

$$\sigma = \frac{E y}{R_z} + \frac{E z}{R_y}$$

لاحظ أن ناتج القوى على المقطع = صفر.

$$\therefore \int \sigma dA$$

$$\frac{E}{R_z} \int y dA + \frac{E}{R_y} \int z dA = 0$$

وهذا لا يتحقق إلا إذا كان،

$$\int y dA + \int z dA = 0$$

وهذا بدوره يعني أن المحورين  $z$  و  $y$  لا يمران بمركز المساحة.

أما العزم المُسلط فيمكن حسابه من،

$$M_z = \int \sigma_y dA = \frac{E}{R_z} \int y^2 dA + \frac{E}{R_y} \int y z dA$$

ولكن،

$$\int y^2 dA = I_z, \int yz dA = I_{yz}$$

$$\therefore M_z = \frac{EI_z}{R_z} + \frac{EI_{yz}}{R_y} \quad (1)$$

وبالمثل،

$$-M_y = \int \sigma_y z dA$$

وبعد التعويض نحصل على،

$$-M_y = \frac{EI_{yz}}{R_z} + \frac{EI_y}{R_y} \quad (2)$$

ويمكن حل المعادلتين (1) و (2) لنحصل على،

$$\frac{E}{R_y} = \frac{-M_y I_z - M_z I_{yz}}{I_y I_z - I_{yz}^2}$$

$$\frac{E}{R_z} = \frac{M_z I_y + M_y I_{yz}}{I_y I_z - I_{yz}^2}$$

والآن عوض في المعادلة،

$$\sigma = \frac{E}{R_z} y + \frac{E}{R_y} z$$

لنحصل على،

$$\sigma = \frac{(M_z I_z + M_y I_{yz})y - (M_y I_z + M_z I_{yz})z}{I_y I_z - I_{yz}^2} \quad (3)$$

في المعادلة (3) إذا كان المقطع متماثل حول المحور الرأسي  $I_{yz}=0$  وبالتالي،

$$\sigma = \frac{M_z}{I_z} y - \frac{M_y}{I_y} z$$

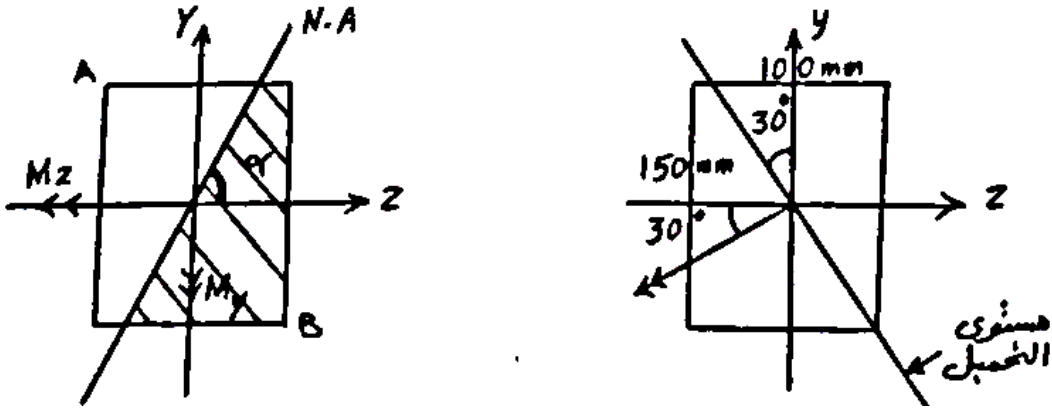
إذا كان العزم مُسلط حول المحور  $z$  لوحده بمعنى أن  $M_y = 0$ ، فإن صيغة الإجهاد تصبح ما

هو معروف لدينا سلفاً،

$$\sigma = \frac{M}{I} y$$

مثال (2):

عارضة مقطعها مستطيل مُسلط عليها حمل يؤدي إلي عزم إنحناء 3kNm في مستوى يميل  $30^\circ$  لمحور z. أوجد القيمة القصوى لإجهاد الشد وإجهاد الضغط في العارضة كما هو موضَّح في الرسم (2.5) أدناه (أنظر المقطع).



الرسم (2.5)

الحل:

$$M_y = -3 \sin 30^\circ = -1.5 \text{ kNm}$$

$$M_z = -3 \cos 30^\circ = -2.6 \text{ kNm}$$

$$I_y = \frac{150 \times 100^3}{12} = 12.5 \cdot 10^6 \text{ mm}^4$$

$$I_z = \frac{100 \times 150^3}{12} = 28.1 \cdot 10^6 \text{ mm}^4$$

نتيجة التماثل،

$$I_{yz} = 0$$

الإجهاد،

$$\sigma = \frac{M_z}{I_z} y + \frac{M_y}{I_y} z$$

أولاً أوجد حول محور التعادل  $\sigma = 0$

$$\therefore \tan 2\alpha = \frac{y}{z} = \frac{M_y I_z}{M_z I_y}$$

$$\tan 2\alpha = \left( \frac{-1.5}{-2.6} \right) \times \frac{28.1 \cdot 10^6}{12.51 \cdot 10^6} = 1.2969$$

$$\alpha = 52.4^\circ$$

الجزء المظلّل في حالة شد والآخر في حالة ضغط. إذن النقطة A تتعرّض لأقصى إجهاد ضغط بينما النقطة B تتعرّض لأقصى إجهاد شد.

عند النقطة A،

$$y = 75mm, \quad z = -50mm$$

$$\therefore \sigma = \frac{-2.6 \cdot 10^6 \times 75}{28.1 \cdot 10^6} + \frac{1.5 \cdot 10^6 \times (-50)}{12.5 \cdot 10^6}$$

$$\sigma_A = -12.9N/mm^2$$

عند النقطة B،

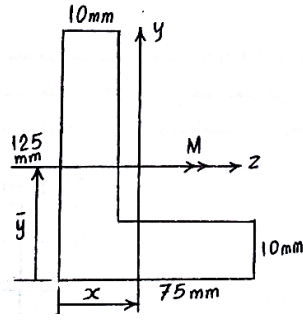
$$y = -75mm, \quad z = 50mm$$

$$\therefore \sigma = \frac{-2.6 \cdot 10^6 \times (-75)}{28.1 \cdot 10^6} + \frac{1.5 \cdot 10^6 \times (50)}{12.5 \cdot 10^6}$$

$$\sigma_B = 12.9N/mm^2$$

مثال(3):

أوجد الإجهاد الأقصى وإجهاد الضغط الأقصى للمقطع الموضّح في الرسم (2.6) أدناه عندما يتعرّض لزم إنحناء  $M = 2kNm$ .



الرسم (2.6)

الحل:

هذا المقطع مرّ علينا في المثال (1) حيث وجدنا أنّ،

$$\bar{z} = 17.8\text{mm}, \bar{y} = 42.8\text{mm}, I_y = 0.84 \cdot 10^6, I_z = 3.05 \cdot 10^6, I_{yz} = -0.92 \cdot 10^6$$

من معطيات المسألة نجد أنّ،

$$M_y = 0, \quad M_z = 2\text{kNm}$$

$$\sigma = \frac{M_z (I_y y - I_z z)}{I_y I_z - I_{yz}^2}$$

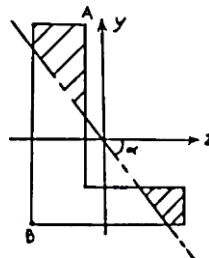
لتحديد محور التعادل نضع  $\sigma = 0$ ،

$$\therefore \tan 2\alpha = \frac{y}{z} = \frac{I_{yz}}{I_y}$$

$$\tan 2\alpha = \frac{-0.92}{0.84} = -1.09529$$

$$\therefore \alpha = -47.6^\circ$$

الجزء المظلل مشدود والآخر مضغوط ، كما هو موضّح في الرسم (2.7) أدناه



الرسم (2.7)

عند النقطة A،

$$y = 82.2\text{mm}, \quad z = -17.8\text{mm}$$

$$\sigma_A = \frac{-2.10^6(0.84 \times 82.2 - 0.92 \times 17.8)10^6}{0.84.10^6 \times 3.05.10^6 - 0.92^2 \times 10^2}$$

$$\sigma_A = 71.1\text{N/mm}^2$$

عند النقطة B،

$$y = -42.8\text{mm}, \quad z = 17.8\text{mm}$$

$$\sigma_B = \frac{2.10^6(-0.84 \times 42.8 - 0.92 \times 17.8)10^6}{0.84.10^6 \times 3.05.10^6 - 0.92^2 \times 10^2}$$

$$\sigma_B = -61.0\text{N/mm}^2$$

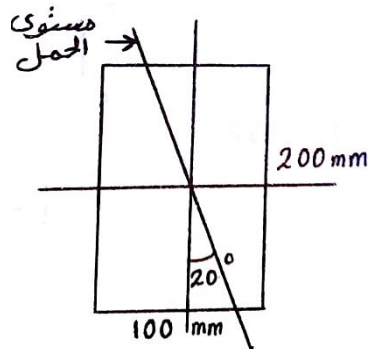
### 2.3 تمرين:

1. عارضة وندية خشبية طولها 4m ومقطعها مستطيل 100mm وعمقه 200mm

خضعت لحمل موزع بانتظام معدله 400N/m. الحمل الذي يعمل على مستوى يميل

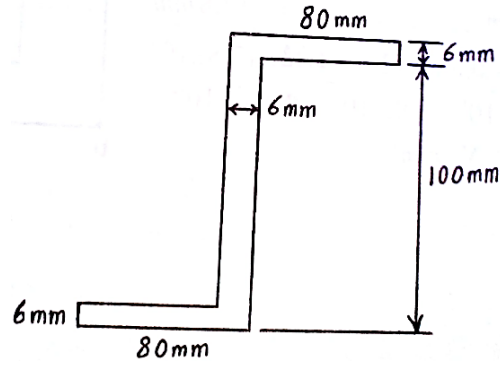
20° لمحور التماثل الرأسي للمقطع (أنظر الرسم). أوجد إجهاد الشد الأقصى في

العارضة.



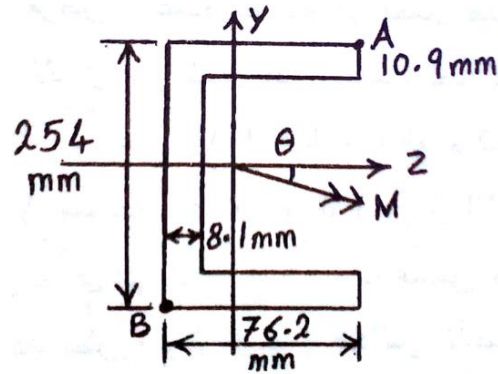
Ans. (7.8N/mm<sup>2</sup>)

2. مقطع صلب إنشاءات له الأبعاد الموضحة في الرسم أدناه يستخدم كعارضة مسنودة إسناد بسيط طولها 5m تخضع لحمل موزع بانتظام في المستوى الرأسي معدله 750N/m بالإضافة إلي حمل مركّز في الوسط مقداره 500N. أوجد إجهاد الشد الأقصى في العارضة .



Ans. (213N/mm<sup>2</sup>)

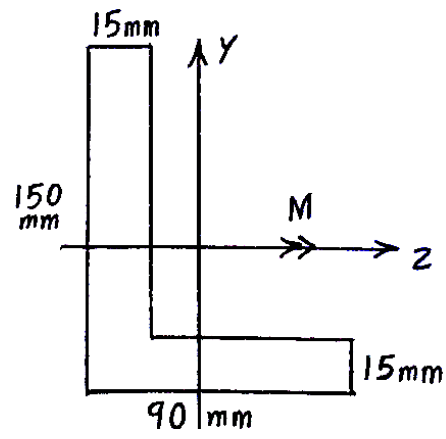
3. مقطع على شكل مجرى يتعرّض لعزم إنحناء  $M = 1.7\text{kNm}$  له متجه يميل  $\theta = 10^\circ$  لمحور z (أنظر الرسم أدناه). أحسب الإجهاد عند النقطتين A و B.



Ans. ( 9.7N/mm<sup>2</sup>, 16.7N/mm<sup>2</sup>)

4. مقطع على شكل زاوية (أنظر الرسم) يخضع لعزم إنحناء  $M = 1\text{kNm}$  له متجه على طول المحور z. أحسب إجهاد الشد الأقصى وإجهاد الضغط الأقصى.





Ans. (  $14.8\text{N/mm}^2$ ,  $14.3\text{N/mm}^2$  )

## الفصل الثالث

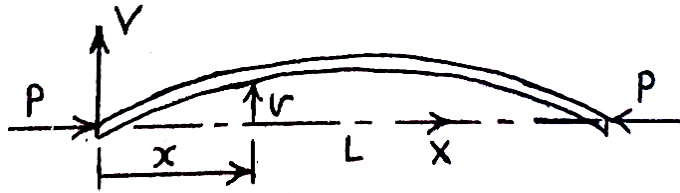
### انبعاج الأعمدة

### (Buckling of Column)

#### 3.1 مدخل:

يحدث الانبعاج عندما تتعرض الأعمدة الطويلة إلى أحمال ضغط محورية تؤدي إلى تقويسها وإنهيارها نتيجة لعدم الإتزان. وللتمييز بين الأعمدة الطويلة والقصيرة نستخدم نسبة النحافة  $r$  حيث أن  $r = L/k$  حيث أن  $k = I/A$  و  $I$  العزم الثاني للمساحة وهو أصغر عزم مساحة للمقطع و  $A$  مساحة المقطع. والواضح أن الأعمدة الطويلة تنهار تحت أحمال أصغر من الأحمال التي تؤدي إلى انهيارها في حالة السحق، وهي طريقة انهيار الأعمدة القصيرة. يمكن استخدام نظرية اويلر لتحليل عدد من الأعمدة بحالات طرفية مختلفة.

#### 1. عمود مسماري من الطرفين:



الرسم (3.1)

على افتراض أن العمود مستقيم والحمل محوري. من الرسم (3.1) أعلاه نحصل على،

$$EI \frac{d^2v}{dx^2} = M = -Pv$$

$$EI \frac{d^2v}{dx^2} + \alpha^2 v = 0, \quad \alpha^2 = \frac{P}{EI}$$

الحل هو:

$$v = A \sin \alpha x + B \cos \alpha x$$

$$x = 0, \quad v = 0, \quad \therefore B = 0$$

$$x = L, \quad v = 0, \quad \therefore A = \sin \alpha L = 0$$

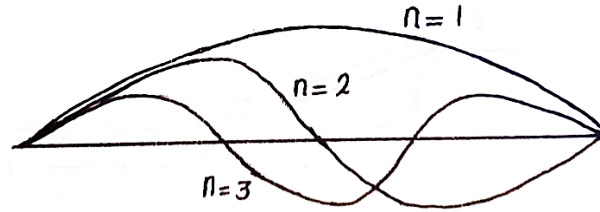
$$A \neq 0 \quad \therefore \sin \alpha L = 0, \quad \alpha L = n\pi \quad (n = 1, 2, \dots)$$

بعد التعويض عن  $\alpha$  نحصل على،

$$P_c = \frac{n^2 \pi^2 EI}{L^2}$$

$n$  تشير إلى شكل العارضة المنهارة كما موضَّح في الرسم (3.2) أدناه. بالطبع لن يتجاوز العمود حالة  $n=1$  لأنه سيكون قد انهار قبلاً، وعليه فإنَّ حمل الانهيار أو الحمل الحرج أو حمل أولر سيكون،

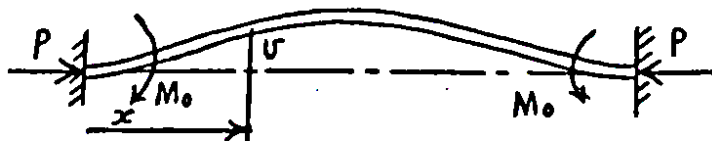
$$P_c = \frac{\pi^2 EI}{L^2}$$



الرسم (3.2)

هذا الكلام يعني أنَّ العمود سيظل مستقيماً وسالماً ما دام الحمل أقل من  $P_c$ . وعندما يُصبح الحمل  $P = P_c$ ، فإنَّ العمود سينحرف ويتسارع الانحراف حتى يتم الانهيار.

2. عمود مبني من الطرفين:



الرسم (3.3)

$$EI = \frac{d^2 v}{dx^2} = -Pv + M_0$$

$$EI \frac{d^2v}{dx^2} + \alpha^2 v = \frac{M_o}{EI}, \quad \alpha^2 = \frac{P}{EI}$$

$$v = A \sin \alpha x + B \cos \alpha x + \frac{M_o}{EI \alpha^2}$$

$$x = 0, \quad v = 0, \quad \therefore B = \frac{M_o}{EI \alpha^2} = -\frac{M}{P}$$

$$x = 0 \quad \frac{dv}{dx} = 0, \quad A = 0$$

$$v = \frac{M}{P} (1 - \cos \alpha x)$$

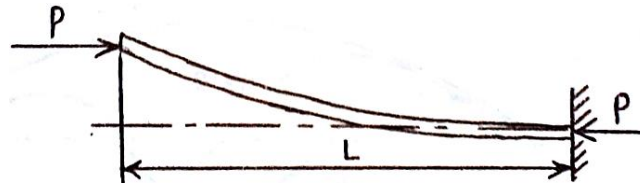
$$x = L \quad v = 0 \quad \therefore \cos \alpha L = 1$$

$$\therefore \alpha L = 2\pi$$

وبتعويض عن قيمة  $\alpha$  نحصل على،

$$P_c = \frac{4\pi^2 EI}{L^2}$$

3. عمود مبني من طرف وحر من الطرف الآخر:

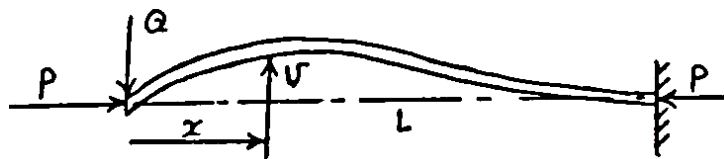


الرسم (3.4)

حاول أن تستج لوحيدك القانون التالي:

$$P_c = \frac{\pi^2 EI}{4L^2}$$

4. عمود مبني من طرف ومسماري من الطرف الآخر:



الرسم (3.5)

$$EI \frac{d^2v}{dx^2} = -Pv + Qx$$

$$EI \frac{d^2v}{dx^2} + \alpha^2 v = \frac{Qx}{EI}, \quad \alpha^2 = \frac{P}{EI}$$

$$v = A \sin \alpha x + B \cos \alpha x - \frac{Qx}{EI\alpha^2}$$

$$x = 0, \quad v = 0, \quad \therefore B = 0$$

$$x = L \quad v = 0 \therefore A \sin \alpha L = \frac{QL}{P} \quad (1)$$

$$x = L \quad \frac{dv}{dx} = 0 \therefore A \cos \alpha L = \frac{QL}{P} \quad (2)$$

$$(1)/(2)$$

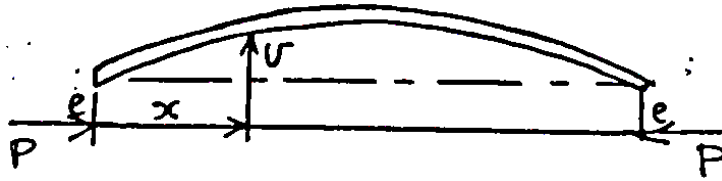
$$\tan \alpha L = \alpha L$$

$$\alpha L = 4.49$$

$$P_c = \frac{20.1EI}{L^2} = \frac{2.05\pi^2 EI}{L^2}$$

في كل الأمثلة السابقة تم تحليل عمدان مستقيمة ومُسلط عليها أحمال محورية. في الواقع تلك حالات مثالية فالعمود قل ما يكون كامل الاستقامة كما أنّ الحمل نادراً ما يكون محورياً. ولهذا سنقوم بتحليل أعمدة مُسلط عليها أحمال لا تمركزية وسنقوم بتضمين القوس الأولي في التحليل.

5. عمود مُسلط عليه حمل لا تمركزي:



الرسم (3.6)

$$EI \frac{d^2v}{dx^2} = -Pv$$

$$EI \frac{d^2v}{dx^2} + \alpha^2 v = 0$$

$$v = A \sin \alpha x + B \cos \alpha x$$

$$x = 0, \quad v = 0, \quad \therefore B = e$$

$$x = L/2, \quad v = \frac{dv}{dx}, \quad \therefore A = e \tan \frac{\alpha L}{2}$$

$$\therefore v = e \left[ \tan \frac{\alpha L}{2} \sin \alpha x + \cos \alpha x \right]$$

لاحظ أنّ الحمل اللاتركزي يسبب انحرافاً في كل الأحوال لا في حالة الحمل الحرج فقط. إن الانحراف يُصبح لا نهائياً عندما يكون،

$$\tan \frac{\alpha L}{2} = \infty, \quad \therefore \alpha L = \pi$$

أي أنّ حمل الانهيار،

$$P_c = \frac{\pi^2 EI}{L^2}$$

ولكن في هذه الحالة ولوجود إجهادات ضغط فإنّ العمود لا ينهار نتيجة الانبعاج.

الانحراف الأقصى في الوسط  $x = \frac{L}{2}$ ،

$$\hat{v} = e \left[ \tan \frac{\alpha L}{2} \sin \frac{\alpha L}{2} + \cos \frac{\alpha L}{2} \right] = e \sec \frac{\alpha L}{2}$$

عزم الانحناء الأقصى،

$$\hat{M} = P\hat{v} = P_c \sec \frac{\alpha L}{2}$$

والإجهاد الأقصى يتم الحصول عليه بجمع إجهادي الانحناء والإجهاد المباشر،

$$\sigma = \frac{P}{A} + \frac{M}{z} = \frac{P}{A} + \frac{P\hat{v}}{z}$$

من النادر أن يخلو عمود من درجة ما من القوس. إذا أخذنا نصف قطر التقويسة الأولي،

$$R_o = 1 / \frac{d^2 v}{dx^2}$$

وإذا استخدمنا الصيغة التالية،

$$EI = \left( \frac{1}{R} - \frac{1}{R_o} \right) = M$$

نحصل على،

$$\frac{d^2v}{dx^2} = M + EI \frac{d^2v_o}{dx^2}$$

$$\frac{d^2v}{dx^2} + \alpha^2 v = \frac{d^2v_o}{dx^2}$$

سنفترض أن التقوس الأولي  $v_o = c \sin \frac{\pi x}{L}$  وهي تعنى بالحالات الطرفية، وتجعل القيمة

القصى للانحراف  $c$  وعليه تصبح المعادلة،

$$\frac{d^2v}{dx^2} + \alpha^2 v = -\frac{c\pi^2}{L} \sin \frac{\pi x}{L}$$

والحل الكامل،

$$v = A \sin \alpha x + B \cos \alpha x - \frac{c\pi^2 / L^2}{-\frac{\pi^2}{L^2} - \alpha^2} \sin \frac{\pi x}{L}$$

$$x=0, \quad v=0, \quad \therefore B=0$$

$$x = \frac{L}{2}, \quad \frac{dv}{dx} = 0, \quad \therefore A=0$$

$$\therefore v = \frac{c\pi^2 / L^2}{\pi^2 / L^2 - \alpha^2} \sin \frac{\pi x}{L}$$

$$v = \frac{c P_e}{P_e - P} \sin \frac{\pi x}{L}, \quad P_e = \frac{\pi^2 EI}{L^2}$$

$$\hat{M} = P\hat{v} = \frac{c P P_e}{P_e - P}$$

### 3.2 نواحي القصور في نظرية اويلر:

في الواقع لا يوجد عمود مستقيم كامل الاستقامة أصلاً ثم أن الحمل المحوري هو حالة مثالية.

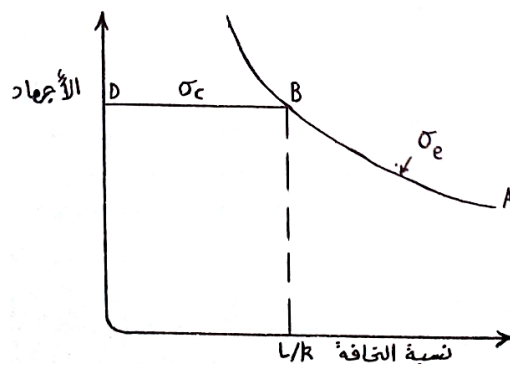
فالحمل عادة يكون لا مركزياً ولكن قيمة اللاتمرکز تكون مجهولة. كما أنه إذا سلمنا بأن العمود

مقوس فإنّ التقوس يكون مجهولاً. وبالتالي فإنّ نظرية اويلر تبدو وكأنها عديمة الفائدة. أضف إلي ذلك هنالك منطقة يتداخل فيها العمود الطويل والعمود القصير ويصعب فيها التحقق من إذا كان عمود معين سينهار نتيجة السحق أو الانبعاج.

لنأخذ المعادلة التالية:

$$\sigma_e = \frac{P_e}{A} = \frac{\pi^2 EI}{AL^2} = \frac{\pi^2 E}{(L/k)^2}$$

منحنى  $\sigma_e$  ضد  $(L/k)$  هو كما موضّح في الرسم (3.7).



الرسم (3.7)

بالنسبة للصلب  $E = 205 \text{ kN/mm}^2$ ،  $\sigma_c = 230 \text{ N/mm}^2$

$$\frac{L}{k} = \pi \sqrt{\frac{E}{\sigma_c}} = \pi \sqrt{\frac{205 \cdot 10^3}{320}} \approx 80$$

بسبب نواحي القصور التي أوردناها في صيغة اويلر، نستخدم صيغ تجريبية تأخذ في الاعتبار تقوس العمود واللامركز في الحمل. ومن الصيغ:

**1. صيغة رانكين:**

$$P = \frac{\sigma_c A}{1 + a(L/k)^2}$$

حيث  $a$  ثابت يعتمد على المادة المصنوع منها العمود والحالة الطرفية، وهذا الثابت متوفر في

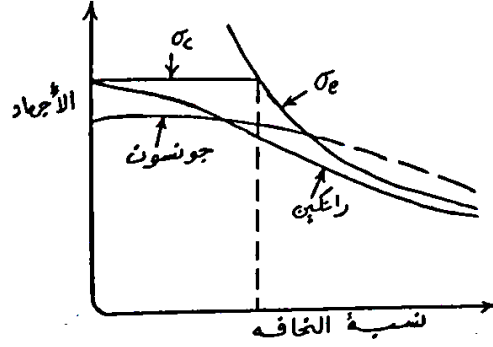
جدول.



2. صيغة جونسون:

$$P = \sigma_c A [1 - b(L/k)^2]$$

حيث b ثابت.



الرسم (3.8)

3.3 أمثلة محلولة:

مثال (1):

عمود طوله 1m ومقطعه 12.5mm×4.8mm سُلط عليه حمل ضغط محوري أدّي إلي انبعاجه. باستخدام صيغة اويلر، أوجد الانحراف الأقصى قبل أن يصل الإجهاد الخضوع  $E = 72\text{kN/mm}^2$ ،  $280\text{N/mm}^2$ .

الحل:

أصغر عزم ثاني للمقطع،

$$I = \frac{12.5 \times 4.8^3}{12} = 115.2\text{mm}^4$$

مساحة المقطع،

$$A = 12.5 \times 4.8 = 60\text{mm}^2$$

الحمل الحرج،

$$P_c = \frac{\pi^2 EI}{L^2} = \frac{\pi^2 \times 72 \cdot 10^3 \times 115.3}{10^6} = 82\text{N}$$

عزم الانحناء الأقصى في الوسط،

$$\hat{M} = P_c \hat{v} = 82\hat{v}$$

حيث  $\hat{v}$  هي الانحراف الأقصى.

الإجهاد الأقصى هو مجموع الإجهاد المباشر وإجهاد الإنحناء،

$$\sigma = \frac{P}{A} + \frac{M}{I}$$

$$\therefore 280 = \frac{82}{60} + \frac{82\hat{v} \times 2.4}{115.2}$$

$$\therefore \hat{v} = 163\text{mm}$$

مثال(2):

عمود من الصلب على شكل ماسورة قطرها الخارجي 60mm والداخلي 48mm طول العمود

2.2m وطرفاه مسماريان، والحمل موازي لمحور العمود. أوجد أقصى لا تتركز لكي يصبح

حمل الاعاقة 0.75 من حمل اويلر. إجهاد الخضوع  $310\text{N/mm}^2$ ،  $E = 207\text{kN/mm}^2$ .

الحل:

$$I = \frac{\pi}{64}(60^4 - 48^4) = 37.6.10^4 \text{ mm}^4$$

$$A = \frac{\pi}{4}(60^2 - 48^2) = 1018\text{mm}^2$$

$$P_c = \frac{\pi^2 EI}{L^2} = \frac{\pi^2 \times 207.10^3 \times 37.6.10^4}{2200^2} \text{ N} = 158\text{kN}$$

$$P = 0.75P_c = 118.5\text{kN}$$

إذن حمل الاعاقة

$$\alpha = \sqrt{\frac{P}{EI}} = \sqrt{\frac{118.5.10^3}{207.10^3 \times 37.6.10^4}} = 12.3.10^{-4}$$

$$\sec \frac{\alpha L}{2} = \sec \left( \frac{12.3.10^{-4} \times 2200}{2} \right) = \sec 1.36$$

$$= 4.779$$

$$\hat{M} = P h \sec \frac{\alpha L}{2} = 118.5 \cdot 10^3 h \times 4.77 = 566 \cdot 10^3 h$$

(h هي اللاتمرکز).

الإجهاد المباشر،

$$\sigma_d = \frac{P}{A} = \frac{118.5 \cdot 10^3}{1018} = 116.4 \text{ N/mm}^2$$

إجهاد الإنحناء،

$$\sigma_b = \frac{\hat{M}}{I} \hat{y} = \frac{655 \cdot 10^3 h}{37.6 \cdot 10^4} \times 30 = 45.2 h (\text{N/mm}^2)$$

الإجهاد الكلي،

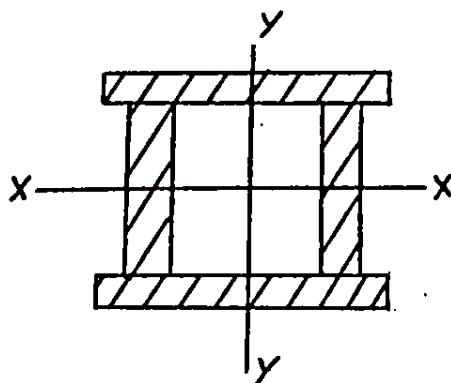
$$\sigma = \sigma_d + \sigma_b$$

$$310 = 116.4 + 45.2h$$

$$\therefore h = 4.28 \text{ mm}$$

مثال (3):

عمود طوله 6m مقيد الطرفين ومقطعه كما موضَّح في الرسم (3.9) أدناه. استخدم صيغة رانكين لإيجاد حمل الضغط المسموح به إذا كان عامل السلامة 3.5. خذ إجهاد الخضوع في حالة الضغط  $\sigma_c = 320 \text{ N/mm}^2$  و الثابت  $a = 1/30000$ .



الرسم (3.9)

الحل:

المعطيات:

$$I_x = 108.5.10^6 \text{ mm}^4$$

$$I_y = 65.7.10^6 \text{ mm}^4$$

$$A = 122.5.10^2 \text{ mm}^2$$

$$\sigma_w = 320 / 3.5 = 91.4 \text{ N / mm}^2$$

أقل قيمة لـ  $k$  نحصل عليها من الآتي:

$$Ak = I_y$$

$$122.5.10^2 k = 65.7.10^6$$

$$\therefore k = 73.2 \text{ mm}$$

$$\left(\frac{L}{k}\right)^2 = \left(\frac{6.10^3}{73.2}\right)^2 = 6712$$

صيغة رانكين،

$$P = \frac{\sigma_c A}{1 + a(L/k)^2}$$

$$P = \frac{91.4 \times 122.5.10^2}{1 + 6712 / 30.10} \text{ N} = 915 \text{ kN}$$

مثال (4):

عمود مجوف مقيّد الطرفين مُسلّط عليه حمل 1MN. إذا كان طول العمود 5m وقطره

الخارجي 250mm، أوجد القطر الداخلي باستخدام صيغة رانكين. الثابت  $a = 1/6400$  إجهاد

التشغيل  $80 \text{ N/mm}^2$ .

الحل:

إذا كان القطر الداخلي  $d$  mm،

$$A = \frac{\pi}{4}(250^2 - d^2)$$

$$I = \frac{\pi}{64}(250^4 - d^4)$$

$$k^2 = \frac{I}{A} = \frac{\pi}{64}(250^4 - d^4) \times \frac{4}{(250^2 - d^2)}$$

$$\therefore k^2 = \frac{1}{16}(250^2 + d^2)$$

$$\left(\frac{L}{k}\right)^2 = \frac{25 \cdot 10^3 \times 16}{250^2 + d^2} = \frac{62.5 \cdot 10^3}{250^2 + d^2}$$

$$P = \frac{\sigma_c A}{1 + a(L/k)^2}$$

$$P = \frac{80 \times \pi / 4 (250^2 - d^2)}{1 + 62.5 \cdot 10^3 (250^2 - d^2)}$$

والتي يمكن تبسيطها كما يلي،

$$P = \frac{20(250^4 - d^4)}{125 \cdot 10^3 + d^2} = 10^6$$

وبعد قليل من المعالجة نحصل على،

$$d^4 + 15.9 \cdot 10^3 d^2 - 1916 = 0$$

$$d^2 = 36.6 \cdot 10^3 \text{ mm}^2$$

$$d = 191 \text{ mm}$$

### 3.4 تمرين:

1. عمود طوله L وطرفاه مبنيان في مادة توفر عزم تثبيت  $M_o = k\theta$  حيث k ثابت و  $\theta$

زاوية الدوران في الطرف. برهن أن حمل الانبعاج يمكن الحصول عليه من الآتي:

$$\alpha^2 = \frac{P}{EI} \text{ و } \tan \frac{\alpha L}{2} = -\frac{P}{\alpha k}$$

إذا كان العمود مسماري من الطرفين وطوله 3.05m فإنَّ حمل الانبعاج يكون 10kN. برهن أنَّ حمل الانبعاج سيتضاعف تقريباً إذا كان الطرفان مقيدان وتوفر المادة عزم التثبيت 180Nm/rad.

2. عمود رأسي كان مستقيماً عندما سلط عليه حمل لا مركزي P واللاتمركز e. إذا كان الانبعاج في الوسط مُنع بواسطة قوة أفقية F، برهن الآتي:

$$F = \frac{2P_e \left(1 - \sec \alpha \frac{\alpha L}{2}\right)}{\frac{L}{2} - \frac{1}{\alpha} \tan \frac{\alpha L}{2}}$$

3. عمود طويل منتظم المقطع كان مستقيماً في البدء عندما سلط عليه حمل ضغط من الطرفين وعلى نفس الجانب من خط الوسط ولكن كان اللاتمركز على أحد الطرفين ضعف اللاتمركز في الطرف الآخر.

إذا كان طول العمود L والحمل P، برهن أنَّ أقصى إجهاد إنحناء يحدث عند مقطع يبعد x من الطرف ذي اللاتمركز الأصغر حيث أنَّ:

$$\tan mx = \frac{2 - \cos mL}{\sin mL}, \quad m = \sqrt{\frac{P}{EI}}$$

إذا كان L = 0.76m وقطر العمود 25mm، أحسب اللاتمركز والذي ينتج إجهاد أقصى 310N/mm<sup>2</sup> حيث أنَّ P = 35kN، E = 200kN/mm<sup>2</sup>.

Ans. (6mm, 3mm)

4. عمود طويل كان مستقيماً في بادئ الأمر بينما أحد طرفيه مثبت بقوة والطرف الآخر حر. تم تسليط حمل لا مركزي على الطرف الحر، وكان خط عمل الحمل موازى لمحور العمود. استنتج صيغة لانحراف الطرف الحر من الوضع الأصلي.

أوجد الانحراف وإجهاد القص الأقصى لعمود صلب تحت هذه الظروف: الطول 25mm والقطر الخارجي 50mm والداخلي 25mm، الحمل 3500N واللاتمركز 75mm.  $E=206\text{kN/mm}^2$ .

Ans. ( $31\text{N/mm}^2$ , 25mm,  $e(\sec \alpha L - 1)$ )

5. عمود دائري مجوف طرفاه مسامريان وطوله 2.44m وقطره الخارجي 101mm والداخلي 89mm. قبل التحميل كان العمود مقوساً وأقصى انحراف له 4.5mm. على افتراض أن خط الوسط جيبي، أوجد الإجهاد الأقصى الذي ينتج منه حمل ضغط محوري مقداره 10kN.  $E = 205\text{kN/mm}^2$ .

Ans. ( $6.3\text{N/mm}^2$ )

6. برهن أنه إذا كان هنالك عمود مقوس وطرفاه مسامريان حيث أن الانحراف الأولي وفق الصيغة التالية:

$$v_o = \frac{4cx}{L^2}(1-x)$$

برهن أن إجهاد الضغط الأقصى الذي ينجم من حمل P:

$$\sigma_c = \frac{P}{A} \left[ 1 + \frac{ch}{k^2} \frac{8P_c}{\pi^2 P} \left( \sec \frac{\pi}{2} \sqrt{\frac{P}{P_c}} - 1 \right) \right]$$

حيث أن A مساحة المقطع، c الانحراف الأولي في الوسط،  $P_c$  حمل اويلر،  $k=I/A$  ذات المعروف، و h مسافة أكثر الشرائح بعداً عن محور التعادل.

7. قارن حمل الاعاقة حسب صيغتي اويلر ورانكين لأنبوب طوله 2.3m وقطره الخارجي والداخلي 38mm و 33mm على التوالي، وذلك عندما يكون طرفاه مسامريان. خذ

إجهاد الخضوع  $320\text{N/mm}^2$  وثابت رانكين  $1/7500$ ،  $E = 200\text{kN/mm}^2$ . ما هو  
الطول الذي تمتع فيه صيغة رانكين عن التطبيق.

Ans. (1m, 17.1kN, 17kN)



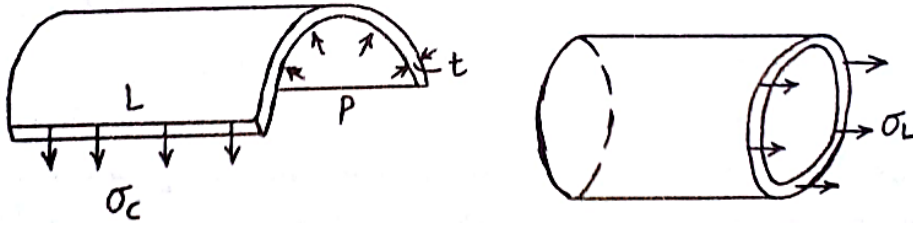
## الفصل الرابع

### الأسطوانات

### (Cylinders)

#### 4.1 الأسطوانات الرقيقة:

من أمثلة الأسطوانات الرقيقة صهاريج المياه والوقود وأنابيب الغلايات. هنالك نوعان من الإجهادات تنتج من تأثير الضغط الداخلي كما يوضح الرسم (4.1) أدناه.



الرسم (4.1)

والإجهادان المعنيان هما الإجهاد المحيطي  $\sigma_c$  والإجهاد الطولي  $\sigma_L$  في حالة تكون الأسطوانة مغلقة من الجانبين.

استنتج لوحدك الآتي:

$$\sigma_c = \frac{Pr}{t}, \quad \sigma_L = \frac{Pr}{2t}$$

حيث أن  $r$  نصف قطر الأسطوانة، و  $t$  السمك.

مثال (1):

أسطوانة هواء مضغوط قطرها 600mm والضغط الداخلي  $3.5\text{N/mm}^2$ . إذا كانت الأسطوانة مصنوعة من صلب له إجهاد خضوع  $250\text{N/mm}^2$  بينما عامل السلامة 2.5، أحسب سمك الجدار. تجاهل التأثيرات المحلية عند نقاط اتصال الأسطوانة بالغطاء.

الحل:

لأنَّ الأستوانة مغلقة من الطرفين، هنالك إجهاد محيطي وإجهاد طولي. ونسبة لأنَّ الإجهاد المحيطي ضعف الإجهاد الطولي، فإنَّ الإجهاد المحيطي سيكون العامل الحاسم لانهياب الأستوانة، وعليه إذن يتم التصميم.

إجهاد التشغيل،

$$\sigma_w = \frac{250}{2.5} = 100 \text{ N / mm}^2$$

$$\sigma_w = \frac{\text{Pr}}{t}$$

$$100 = \frac{3.5 \times 300}{t}, \quad \therefore t = 14.7 \text{ mm}$$

#### 4.2 الأستوانات السميكة:

إذا كان سمك الأستوانة  $t < d < d/20$  حيث أن  $d$  قطر الأستوانة، فإنَّ الأستوانة يمكن أن تصف بأنها سميكة، وفي هذه الحالة فإنَّ الإجهادات الرئيسية هي الإجهاد المحيطي  $\sigma_h$  والإجهاد الطولي  $\sigma_L$  كما في الأستوانات الرقيقة بالإضافة إلى الإجهاد القطري  $\sigma_r$ . في هذه الحالة نجد أنَّ الإجهادين المحيطي والقطري يتغيران عبر السمك.

حاول أن تستج لوحيدك الصيغ التالية:

$$\sigma_v = a - \frac{b}{r^2}$$

$$\sigma_h = a + \frac{b}{r^2}$$

$$\sigma_L = \frac{\text{Pr}_2^2}{r_1^2 - r_2^2}$$

حيث أنَّ  $r_1$  و  $r_2$  هما نصف القطران الخارجي والداخلي على التوالي.  $a$  و  $b$  ثابتان.

مثال(2):

أسطوانة هيدروليكية قطرها الداخلي 60mm. أوجد السمك المطلوب لتحتمل الأسطوانة ضغط داخلي  $40\text{N/mm}^2$  بحيث لا يتجاوز إجهاد الشد الأقصى  $60\text{N/mm}^2$  وإجهاد القص الأقصى  $45\text{N/mm}^2$ .

الحل:

(أ) إجهاد الشد الأقصى،

$$\sigma_v = a - \frac{b}{r^2}$$

$$r = 30\text{mm}, \sigma_v = -40\text{N/mm}^2$$

$$r = r_1, \quad \sigma_r = 0$$

$$-40 = a - \frac{b}{30^2} \quad (1)$$

$$0 = a - \frac{b}{r_1^2} \quad (2)$$

$$r = 30\text{mm}, \quad \sigma_h = 60\text{N/mm}^2$$

$$\therefore 60 = a + \frac{b}{30^2} \quad (3)$$

$$(1)+(2) \therefore a = 10$$

عوّض في (1) لتحصل على  $b = 45.10^3$ .

وأخيراً عوّض في المعادلة (2) لتحصل على  $r = 67.1\text{mm}$ .

السمك المطلوب  $t$ ,

$$t = 67.1 - 30 = 37.1\text{mm}$$

(ب) إجهاد القص الأقصى:

$$\hat{t} = \frac{1}{2}(\sigma_h - \sigma_r)$$

$$45 = \frac{1}{2}(\sigma_h + 40)$$

$$\therefore \sigma_h = 50N / mm^2$$

واضح أنّ التصميم يتم على إجهاد الشد الأقصى لا على إجهاد القص الأقصى لأنّ الأول هو العامل الحاسم إذ يؤدي إلي إجهاد محيطي أكبر.

**مثال(3):**

الإجهاد الأقصى المسموح به في أسطوانة نصف قطرها الداخلي 80mm والخارجي 120mm إذا كان  $20N/mm^2$  بينما الضغط الخارجي  $6N/mm^2$ . ما هو الضغط الداخلي الذي يمكن تسليطه. أرسم مخطط توزيع الإجهاد المحيطي والإجهاد القطري عبر سمك الأسطوانة.

**الحل:**

$$\sigma_r = a - \frac{b}{r^2}$$

$$r = 80mm, \quad \sigma_r = -P$$

$$r = 120mm, \quad \sigma_r = -6N / mm^2$$

$$\therefore -P = a - \frac{b}{80^2} \quad (1)$$

$$\therefore -6 = a - \frac{b}{120^2} \quad (2)$$

$$\sigma_h = a + \frac{b}{r^2}$$

$$r = 80mm, \quad \sigma_h = 20N / mm^2$$

$$\therefore 20 = a + \frac{b}{80^2} \quad (2)$$

$$(2) - (3) \quad \therefore b = 115.2 \cdot 10^3$$

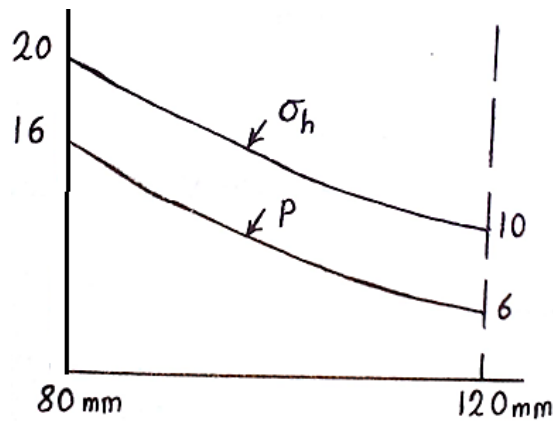
عوض في المعادلة (2)،  $\therefore a = 2$

عوض في المعادلة (1)،  $P = 16N/mm^2$

الإجهاد المحيطي على السطح الخارجي،

$$\sigma_h = 2 + \frac{115.2 \cdot 10^3}{120^2}$$

$$\therefore \sigma_h = 10N/mm^2$$



الرسم (4.2)

مثال (4):

مقياسا إنفعال تم تثبيتهما على السطح الخارجي لأسطوانة وذلك لقياس الانفعالين الطولي والمحيطي. الأسطوانة مغلقة الطرفين وقطرها الداخلي والخارجي 150mm و 200mm على التوالي. تحت تأثير ضغط داخلي معين كانت القراءات تشير إلي أن الإجهاد الطولي والمحيطي  $36N/mm^2$  و  $72N/mm^2$  على التوالي وكلاهما إجهاد شد. أوجد (أ) الضغط الداخلي (ب) الإجهاد المحيطي على السطح الداخلي (ج) التغير في السطح الداخلي نتيجة الضغط.

$$. \nu = 0.28, E=206kN/mm^2$$

الحل:

(أ) إذا كان الضغط الداخلي  $P$  والإجهاد الطولي  $\sigma_L$  والقطرين الداخلي والخارجي  $d_1$  و  $d_2$  فإن،

$$\sigma_L(d_2^2 - d_1^2) = Pd_1^2$$

$$36(200^2 - 150^2) = P \times 150^2$$

$$\therefore P = 28N / mm^2$$

(ب) الإجهاد المحيطي على السطح الداخلي،

$$\sigma_r = a - \frac{b}{r^2}$$

$$\sigma_h = a + \frac{b}{r^2}$$

$$\sigma_r - \sigma_h = 2a$$

$$\sigma_r = 0, \quad \sigma_h = 72N / mm \quad \text{عند السطح الخارجي،}$$

$$\sigma_r + \sigma_h = 72 \quad \text{إذن،}$$

$$\sigma_r = -28N / mm^2 \quad \text{عند السطح الداخلي،}$$

$$\therefore -28 + \sigma_h = 72$$

$$\sigma_h = 100N / mm^2$$

(ج) الانفعال المحيطي:

$$\epsilon_h = \frac{\sigma_h}{E} - \nu \frac{\sigma_r}{E} - \nu \frac{\sigma_L}{E}$$

$$\epsilon_h = \frac{1}{206.10^3} [100 - 0.28(-28 + 36)] = 475.10^{-6}$$

الزيادة في القطر الداخلي = الزيادة في المحيط الداخلي

$$\Delta d_1 = \epsilon_h d_1$$

$$= 475.10^{-6} \times 150 = 0.0712mm$$

مثال(5):

أنبوب مركب يتكون من أنبوبين أحدهما فوق الآخر. القطر الوسيط 60mm. سماح الانكماش

(محسوب القطر) 0.01mm، كل أنبوب سمكه 10mm. إذا كان كلا الأنبوبين مصنوع من الصلب ( $E = 200\text{kN/mm}^2$ )، أحسب الإجهاد بين الأنبوبين. أحسب مخطَّ توزيع الإجهاد المحيطي عبر الجدار الناجم من:

(أ) الإنكماش (ب) ضغط داخلي  $60\text{N/mm}^2$

وضَّح أيضاً ناتج توزيع الإجهاد المحيطي.

**الحل:**

أولاً: الإجهادات الناجمة من الانكماش: الأنبوب الداخلي،

$$\sigma_r = a - \frac{b}{r^2}$$

$$r = 20\text{mm}, \quad \sigma_r = 0$$

$$r = 30\text{mm}, \quad \sigma_r = -P_o$$

$$\therefore 0 = a - \frac{b}{20^2} \quad (1)$$

$$\therefore -P_o = a - \frac{b}{30^2} \quad (2)$$

من المعادلتين (1) و(2) نحصل على،

$$a = -1.9P_o, \quad b = -720P_o$$

الأنبوب الخارجي،

$$r = 30\text{mm}, \quad \sigma_r = -P_o$$

$$r = 40\text{mm}, \quad \sigma_r = 0$$

$$\therefore -P_o = a' - \frac{b'}{30^2} \quad (3)$$

$$0 = a' - \frac{b'}{40^2} \quad (4)$$

$$a' = 1.286P_o, \quad b' = 2057P_o$$

$$\sigma_h = a + \frac{b}{r^2} \quad \text{الإجهاد المحيطي،}$$

الأنبوبة الداخلي،

$$\sigma_h = -1.8P_o + \frac{720P_o}{r^2}$$

$$r = 30mm, \quad \sigma_h = -2.6P_o$$

الأنبوب الخارجي،

$$\sigma_h = -1.286P_o + \frac{2057P_o}{r^2}$$

$$r = 30mm, \quad \sigma_h = 3.572P_o$$

يمكن استنتاج سماح الانكماش هكذا،

$$\Delta = \frac{1}{E}(\sigma_1 - \sigma'_1)d$$

حيث أن  $\sigma_1$  إجهاد الضغط على السطح الخارجي للأنبوب الداخلي  $\sigma'_1$  إجهاد الشد على السطح

الداخلي للأنبوب الخارجي و  $d$  القطر الوسيط.

$$\therefore \Delta = \frac{1}{200.10^3} (206P_o - 3.572P_o) \times 60 = 0.01$$

$$\therefore P_o = 5.4N / mm^2$$

ثانياً الإجهادات الناجمة من الضغط الداخلي:

الأنبوب المركب،

$$r = 20mm, \quad \sigma_r = -60N / mm^2$$

$$r = 40mm, \quad \sigma_r = 0$$

$$\sigma_r = a'' - \frac{b''}{r^2}$$



$$-60 = a'' - \frac{b''}{20^2} \quad (5)$$

$$0 = a'' - \frac{b''}{40^2} \quad (6)$$

من المعادلتين (5) و (5) نحصل على،

$$a'' = 20, \quad b'' = 32000$$

$$\sigma_h = a'' + \frac{b''}{r^2} = 20 + \frac{32000}{r^2}$$

$$r = 20mm, \quad \sigma_h = 100N / mm^2$$

$$r = 30mm, \quad \sigma_h = 55.6N / mm^2$$

$$r = 40mm, \quad \sigma_h = 40N / mm^2$$

وإجهاد الانكماش كما يلي:

الأنبوب الداخلي،

$$\sigma_h = -9.72 - \frac{3888}{r^2}$$

$$r = 20mm, \quad \sigma_h = -19.4N / mm^2$$

$$r = 30mm, \quad \sigma_h = -14.0N / mm^2$$

الأنبوب الخارجي،

$$\sigma_h = 6.94 + \frac{11108}{r^2}$$

$$r = 30mm, \quad \sigma_h = 19.3N / mm^2$$

$$r = 40mm, \quad \sigma_h = 13.9N / mm^2$$

ثالثاً: ناتج الإجهادات،

الأنبوب الداخلي،

$$r = 20mm, \quad \sigma_h = 80.6N / mm^2$$

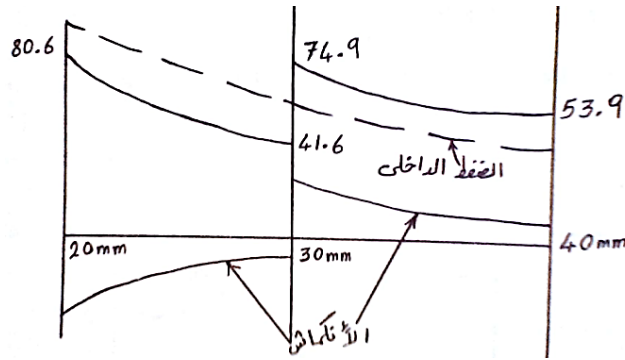
$$r = 30\text{mm}, \quad \sigma_h = 41.6\text{N/mm}^2$$

الأنبوب الخارجي،

$$r = 30\text{mm}, \quad \sigma_h = 74.9\text{N/mm}^2$$

$$r = 40\text{mm}, \quad \sigma_h = 53.9\text{N/mm}^2$$

توزيع الإجهادات في المخطط الرسم (4.3) أدناه. حاول أن تُبين القيم الرئيسة في المخطط والتي لم تظهر.



الرسم (4.3)

مثال (6):

قميص من الصلب طوله 120mm وقطره الخارجي 120mm تم كبسه على عمود من الصلب قطره 80mm بحيث كان الإجهاد المحيطي الأقصى في القميص  $130\text{N/mm}^2$ . أوجد الضغط الناتج على السطح المشترك. أرسم مخطط توزيع الإجهادات القطرية والمحيطية في جدار القميص.

الحل:

(أ) العمود:

$$\sigma_h = -\sigma_r = P_o$$

(ب) القميص:

$$\sigma_r = a - \frac{b}{r^2}$$

$$r = 40\text{mm}, \quad \sigma_r = -P_o$$

$$r = 60\text{mm}, \quad \sigma_h = 0$$

$$\therefore -P_o = a - \frac{b}{40^2} \quad (1)$$

$$0 = a - \frac{b}{60^2} \quad (2)$$

من المعادلتين (1) و (2) نحصل على،

$$a = 0.8P_o, \quad b = 2880P_o$$

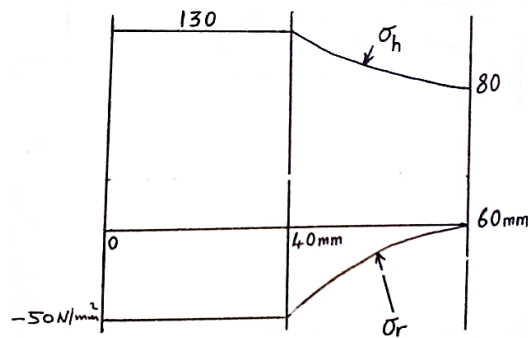
$$\sigma_h = a - \frac{b}{r^2} = 0.8P_o + \frac{2880P_o}{r^2}$$

$$r = 40\text{mm}, \quad \sigma_h = 130\text{N/mm}^2$$

$$\therefore 130 = 0.8P_o + \frac{2880P_o}{40^2}$$

$$\therefore P_o = 50\text{N/mm}^2$$

$$r = 60\text{mm}, \quad \sigma_h = 80\text{N/mm}^2$$



الرسم (4.4)

### 4.3 تمرين:

1. أسطوانة سميكة معرضة لضغط داخلي  $60\text{N/mm}^2$  وإجهاد شد محيطي على السطح

الداخلي  $150\text{N/mm}^2$ ، أحسب الإجهاد المحيطي على السطح الخارجي وكذلك الطولي،

قطرا الأستوانة 120mm و 80mm.

Ans. (48N/mm<sup>2</sup>, 96N/mm<sup>2</sup>)

2. أحسب الضغط الداخلي المناسب في أستوانة هيدروليكية قطرها الداخلي 450mm وسمكها 250mm إذا كان الإجهاد المسموح به 15N/mm<sup>2</sup>.

Ans. (9.5N/mm<sup>2</sup>)

3. أستوانة قطرها الداخلي 150mm والخارجي 200mm مفتوحة من الجانبين ومعرضة لضغط خارجي 14N/mm<sup>2</sup>. أحسب إجهاد الضغط المحيطي الأقصى وتقلص قطري الأستوانة الخارجي والداخلي  $E = 200\text{kN/mm}^2$ ،  $\nu = 0.28$ .

Ans. (0.046mm, 0.048mm, 64N/mm<sup>2</sup>)

4. أنبوب مركب قطره الداخلي 150mm والخارجي 250mm، تم عمله بكبس أنبوب على الآخر من نفس المادة وكان القطر الوسيط 200mm. إذا كان سماح الانكماش 0.05mm أحسب الضغط القطري بين الأنبوبين عند القطر المشترك.  $E = 200\text{N/mm}^2$

أوجد أيضاً الإجهاد المحيطي الأقصى والأدنى في كلا الأنبوبين الناجم من الانكماش. إذا تعرض الأنبوب إلي ضغط داخلي 70N/mm<sup>2</sup>، فكم تكون الإجهادات على السطحين الداخلي والخارجي لكل أنبوب؟ أرسم مخطط يوضح توزيع الإجهادات المحيطية قبل تسليط الحمل الداخلي وبعده.

الإجابة: الإجهاد N/mm<sup>2</sup>

الأنبوب الخارجي		الأنبوب الداخلي		
125mm	100mm	100mm	75mm	
21.9	28	-22	-28.1	الانكماش
78.8	100.9	100.9	148.8	الضغط
100.7	128.9	78.9	120.7	الناتج

5. أحسب التغير في قطر عمود مصمت قطره 100mm معرّض لضغط  $80\text{N/mm}^2$ . خذ

$$. \nu = 0.28 , E = 200\text{kN/mm}^2$$

Ans. (0.0288)

6. قميص نحاس قطره الخارجي 60mm تم كبسه على عمود صلب قطره 40mm قطر

القميص الداخلي كان أصغر من قطر العمود قبل كبسه وكان الفرق بينهما 0.05mm.

أوجد:

(أ) الضغط بين العمود والقميص.

(ب) الإجهاد المحيطي الأقصى في القميص.

(ج) التغير في القطر الخارجي للقميص.

$$. \nu = 0.29 , E = 200\text{kN/mm}^2$$

$$. \nu = 0.34 , E = 120\text{kN/mm}^2$$

Ans. (+0.0214mm, 115.8N/mm<sup>2</sup>, 44.6N/mm<sup>2</sup>)

## الكتب والمراجع

### الكتب والمراجع العربية:

1. بروفييسور محمود يس عثمان ، "مذكرة محاضرات في متانة المواد المجلد الأول " ، جامعة وادي لنيل ، كلية الهندسة والتقنية ، قسم الهندسة الميكانيكية، (1978م).
2. بروفييسور محمود يس عثمان ، "مذكرة محاضرات في متانة المواد المجلد الثاني " ، جامعة وادي لنيل ، كلية الهندسة والتقنية ، قسم الهندسة الميكانيكية، (1982م).
3. بروفييسور محمود يس عثمان ، "مذكرة محاضرات في متانة المواد المجلد الثالث " ، جامعة وادي لنيل ، كلية الهندسة والتقنية ، قسم الهندسة الميكانيكية، (1990م).
4. د. أسامة محمد المرضي سليمان ، "محاضرات في متانة المواد " ، جامعة وادي لنيل ، كلية الهندسة والتقنية ، قسم الهندسة الميكانيكية، (1995م).
5. د. أسامة محمد المرضي سليمان ، "محاضرات في أساسيات المرونة واللدونة " ، جامعة وادي لنيل ، كلية الهندسة والتقنية ، قسم الهندسة الميكانيكية، (1998م).
5. د. أسامة محمد المرضي سليمان ، "محاضرات في ميكانيكا المواد الأجزاء 1 ، 2 ، 3 " ، جامعة وادي لنيل ، كلية الهندسة والتقنية ، قسم الهندسة الميكانيكية، (1995م).

### الكتب والمراجع الإنجليزية:

1. William A. Nash and C.E.N Sturgess, "Strength of Materials", Schaum's Outline Series, McGraw-Hill Company, New York, 1997.
2. Urry S. A. and Turner P.J., "Solving Problems in Solid Mechanics", Vol2, Longman Scientific & Technical, UK, 1986.
3. James M. Gere and Stephen P. Timoshenko, "Mechanics of Materials", Van Nostrand Rienholds, UK, 1987.
4. Ryder, "Strength of Materials" , 1969.

## المصطلحات

Axis	محور
Axial load	حمل محوري
Area	مساحة
Angle	زاوية
Applied load	حمل مسلط
Bar	قضيب
Brittle material	مادة قصفة
Bending moment	عزم انحناء
Bending stress	إجهاد انحناء
Brass	نحاس
Build-in beam	عارضة مبنية
Buckling	انبعاج
Complementary	تكميلي
Complementary shear stress	اجهاد قص تكميلي
Centre	مركز
Centre of area	مركز مساحة
Channel – section	مقطع على شكل مجري
Concentrated load	حمل مركّز
Concentrated bending moment	عزم انحناء مركّز

Cast iron	حديد زهر
Compression	ضغط
Cantilever beam	عارضة وتدّية
Compound	مركب
Compound shaft	عمود مركب
Compound bar	قضيب مركب
Compound stress	إجهاد مركب
Compound strain	انفعال مركب
Compatibility	توافق
Copper	نحاس
Coefficient	معامل
Coefficient of expansion	معامل التمدّد
Concentric	متمركز
Deformation	تشوه
Ductile material	مادة مطيائية
Diagram	مخطّط
Distributed	موزع
Diameter	قطر
Deflection	انحراف
Elasticity	مرونة



Elastic limit	حد المرونة
Element	عنصر
Equilibrium	توازن
Force	قوة
Failure	انهيار
First moment of area	العزم الأول للمساحة
Flange	شفة
Frame	هيكل
Failure criteria	معايير الانهيار
Gap	فجوة
Hook's law	قانون هوك
I – section	مقطع I
Isentropic material	مادة متشابهة الخواص
Length	طول
Longitudinal stress	اجهاد طولي
Material	مادة
Mechanics of materials	ميكانيكا المواد
Modulus	معايير
Modulus of elasticity	معايير المرونة
Modulus of rigidity	معايير الجساءة

Maximum stress	الاجهاد الأقصى
Mohr's law	دائرة مور
Neutral axis	محور التعادل
Normal	عمودي
Nut	صامولة
Oblique plane	مستوى مائل
Proportional limit	حد التناسب
Plasticity	اللدونة
Parallel axis theorem	نظرية المحاور المتوازية
Perpendicular axis theorem	نظرية المحاور المتعامدة
Plane	مستوى
Propped cantilever	عارضة وتدوية مدعومة
Polar moment of area	العزم القطبي للمساحة
Point of contra flexure (inflexion)	نقطة الانقلاب
Pulley	بكرة
Propeller shaft	عمود دفع
Power	قدرة
Principal stress	إجهاد رئيس
Principal strain	انفعال رئيس
Principal plane	مستوي رئيس

Pin-hinge	مفصلة مسمارية
Rigid bar	عمود جائسئ
Rail	سكة حديد
Radius of curvature	نصف قطر التقويسة
Stress	إجهاد
Strain	انفعال
Steel (mild)	صلب (طري)
Shear stress	إجهاد قص
Shear force	قوة قص
Section	مقطع
Symmetry	تماثل
Second moment of area	العزم الثاني للمساحة
Shear center	مركز القص
Speed	سرعة
Solid (shaft)	مصمت (عمود)
Strain gauge	مقياس انفعال
Strain energy	طاقة انفعال
Shear strain energy	طاقة انفعال القص
Slope	ميل
Sleeve	جلبة - قميص

T – section	مقطع على شكل T
Torsion	إلتواء
Tension	شد
Twisting moment	عزم إلتواء
Torque	عزم إلتواء
Thermal stresses	إجهادات حرارية
Temperature	درجة حرارة
Theories of failure	نظريات الانهيار
Tube	أنبوب
Uniform distributed load	حمل موزع بانتظام
Web	وترة
Work	شغل
Working stress	إجهاد تشغيل
Washer	وردة
Yield	خضوع
Yield stress	إجهاد خضوع